

**Секция**  
**«ИНТЕЛЛЕКТУАЛЬНОЕ УПРАВЛЕНИЕ**  
**В РОБОТОТЕХНИЧЕСКИХ СИСТЕМАХ»**

УДК 681.5:531.8

Б. И. АДАМОВ, А. В. КНЯЗЕВ

НИУ «МЭИ», Москва

**АСИМПТОТИЧЕСКИЙ АЛГОРИТМ ПОГОНИ  
ДЛЯ МОБИЛЬНОГО РОБОТА**

*Предлагается алгоритм преследования для мобильного робота, работоспособность которого обосновывается с точки зрения теории сингулярно возмущённых систем. Для формирования управляющих сигналов используются только координаты преследуемого объекта относительно робота и одометрическая информация. Алгоритм управления движением колёсной платформы реализован в среде LabVIEW для робота DaNI.*

**Введение**

Задача слежения за объектом и его преследования, а также связанные с ней методы использования систем технического зрения широко востребованы в мобильной робототехнике – в управлении автономными автомобилями, осуществлении мер по охране территорий и чаще всего при транспортировке грузов.

Так, например, в 2012 г. по заказу агентства передовых оборонных исследовательских проектов США (*DARPA*) был создан шагающий робот, способный следовать за человеком по пересеченной местности и нести на себе до 182 кг груза. Это пример ситуации, когда преследуемый объект не стремится уйти от преследователя.

Алгоритмы преследования подвижного объекта достаточно подробно излагаются в работе [1], автор которой акцентирует своё внимание на оптимальных методах, использующих уравнения динамики преследователя. Предлагаемый доклад посвящён разработке алгоритма сближения робота с подвижной целью и следования за ней на постоянном расстоянии. Поведение преследуемого объекта не корректируется в зависимости от движения робота.

## Постановка задачи

Рассматриваемый мобильный робот представляет собой платформу с двумя ведущими соосными колёсами радиуса  $R_w$  и пассивным колесом типа «*omnidirectional*». Центры правого и левого колёс обозначены на рис. 1 как  $R$  и  $L$ . Связем с платформой систему координат  $Oxy$ , ось  $y$  которой направлена вдоль оси колёсной пары, а точка  $O$  лежит на её середине (рис. 1)

$$RO = OL = l.$$

Робот преследует объект, который моделируется круглым цилиндром, ось которого вертикальна, а радиус известен и равен  $r$ . Считаем, что закон движения объекта  $\dot{\vec{r}}_C(t)$  удовлетворяет дифференциальному уравнению

$$\dot{\vec{r}}_C = f(\vec{r}_C, t).$$

Задачу сближения робота с объектом и следования за ним на заданном расстоянии сформулируем как задачу совмещения характерной точки  $M$  следящей платформы с центром объекта  $C$

$$\vec{r}_M(t) \rightarrow \vec{r}_C(t), \quad t \rightarrow \infty, \quad (1)$$

где  $\vec{r}_M$  и  $\vec{r}_C$  – радиус-векторы точек  $M$  и  $C$  относительно начала неподвижной системы координат  $XY$  (рис. 1).

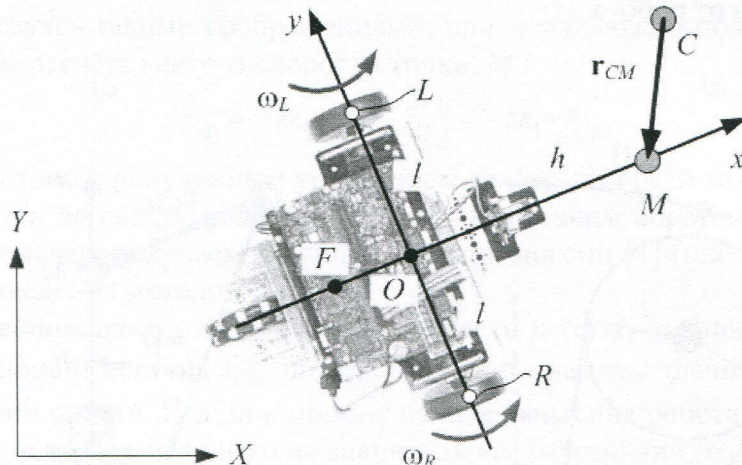


Рис. 1. Схема мобильного робота

Считаем, что точка  $M$  расположена на оси симметрии платформы  $Ox$  на расстоянии  $h$  до оси колёсной пары (см. рис. 1)

$$MO = h.$$

Требуется разработать алгоритм управления движением платформы для выполнения условия (1). В распоряжении разработчиков имеется визуальная информация, получаемая с камеры, установленной над продольной осью платформы  $Ox$ ; одометрическая информация о движении робота; а также форма, размеры и цвет цели, необходимые для её распознавания и локализации в кадре. В качестве управляющих величин рассматриваются угловые скорости ведущих колёс относительно платформы  $\omega_R$  и  $\omega_L$ .

## Определение координат цели относительно робота

Положение преследуемого объекта определяется по кадру, полученному с камеры, установленной на платформе.

На рис. 2, а приведена расчётная схема для определения расстояния от оптического центра камеры  $F_1$  до центра объекта  $C$  и угла визирования  $\beta$ . На ней крайней правой и левой точкам изображения объекта соответствуют точки  $A_1$  и  $B_1$ .

Имеют место следующие соотношения:

$$\beta = \frac{1}{2} \left( \arctg \frac{F_1 A_1}{F_1 F} + \arctg \frac{F_1 B_1}{F_1 F} \right), \quad \alpha = \frac{1}{2} \left( \arctg \frac{F_1 A_1}{F_1 F} - \arctg \frac{F_1 B_1}{F_1 F} \right), \quad (2)$$

$$FC = \frac{r}{\sin \alpha}, \quad (3)$$

где  $\alpha$  – вспомогательный угол (см. рис 2),  $F_1$  – центр кадра,  $F_1 F$  – фокусное расстояние камеры (на рис. 2, а обозначено как  $f$ ). Величина  $F_1 A_1$  считается отрицательной, если точка  $A_1$  находится справа от центра кадра  $F_1$ . Аналогично для величины  $F_1 B_1$ . Угол визирования  $\beta$  положителен, если центр объекта находится слева от робота.

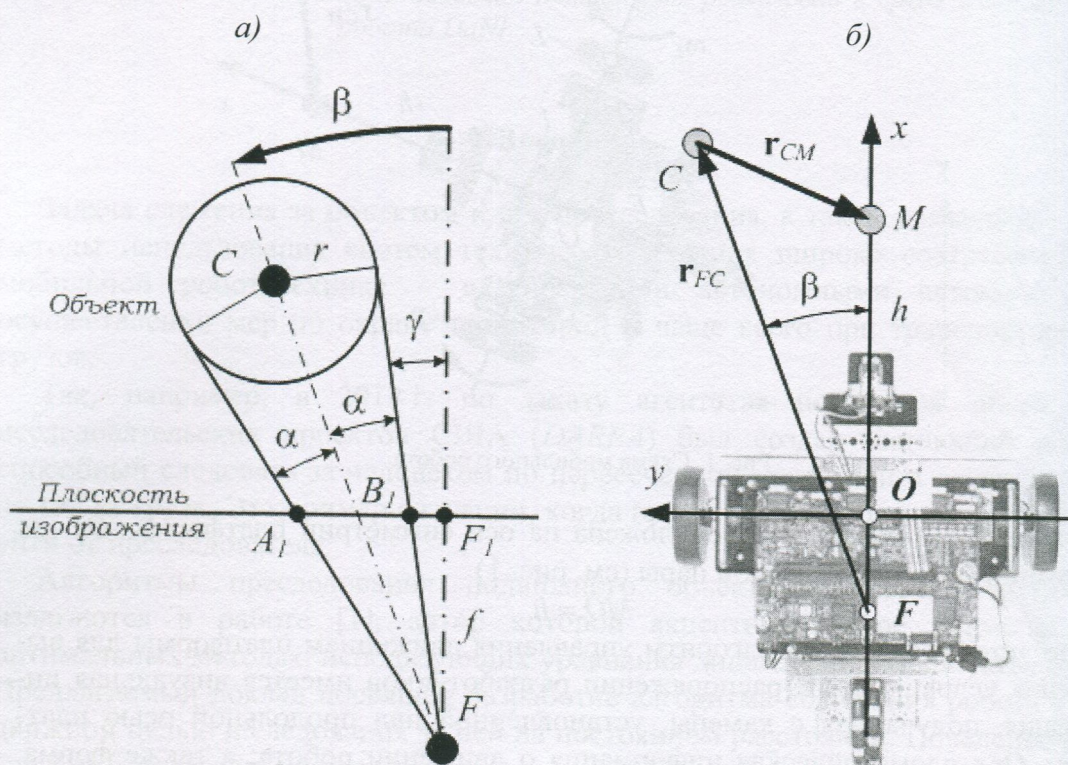


Рис. 2. Расчётная схема для определения положения объекта

### Асимптотический алгоритм преследования

Построим алгоритм кинематического управления роботом, задав определённым образом вектор скорости точки платформы  $M$   $\vec{V}_M = \dot{\vec{r}}_M$ .

В работе [2], посвящённой синтезу алгоритма управления неопределенной линейной системой методом последовательного компенсатора, рассматривается следующий вспомогательный алгоритм:

$$\begin{cases} \dot{\mu}_1 = k \cdot \mu_2, \\ \dot{\mu}_2 = k \cdot \mu_3, \\ \dots \\ \dot{\mu}_n = k \cdot (-k_1 \cdot \mu_1 - \dots - k_n \cdot \mu_n + k_1 y); \end{cases} \quad (4)$$

где  $y$  - обрабатываемая величина (в статье [2] – выход объекта управления),  $\mu_{1,\dots,n}$  - вспомогательные функции,  $k$  - достаточно большой положительный коэффициент, а параметры  $k_{1,\dots,n}$  выбираются из условия устойчивости.

Алгоритм (4) позволяет получить оценку  $\hat{y} = \mu_1$ , совпадающую с определённой точностью с обрабатываемой величиной  $y$ . В рассматриваемой задаче необходимо, чтобы движение точки платформы  $M$  повторяло движение центра преследуемого объекта  $C$ . Таким образом, алгоритм вида (4) можно использовать для формирования движения точки  $M$ , если в качестве  $\mu_1$  использовать радиус-вектор  $\vec{r}_M$ , а в качестве  $y$  - радиус-вектор  $\vec{r}_C$ .

Руководствуясь такими соображениями, при  $n=1$  можно получить следующий алгоритм расчёта вектора скорости точки  $M$ :

$$\dot{\vec{r}}_M = -kk_1 [\vec{r}_M - \vec{r}_C] = -kk_1 \cdot \vec{r}_{CM}. \quad (5)$$

В соответствии с полученным уравнением вектор скорости точки  $M$  должен быть направлен на центр преследуемого объекта. Таким образом, соотношение (5) является частным случаем алгоритма чистой погони [1] (или двухточечного алгоритма наведения методом погони).

Использование алгоритма (5) может привести к тому, что неточности определения компонент вектора  $\vec{r}_{CM}$  по изображению с камеры значительно скажутся на движении робота. И если в момент начала движения робота преследуемый объект будет находиться от него на значительном расстоянии, то в соответствии с соотношением (5) приводы колёс должны будут практически мгновенно развить достаточно высокие скорости.

Перечисленные недостатки алгоритма (5) можно парировать, выбрав в соотношениях (4)  $n=2$ .

Таким образом, для выполнения поставленной задачи (1) организуем движение точки  $M$  платформы согласно уравнениям:

$$\begin{cases} \dot{\vec{r}}_M = k \cdot \vec{\mu}, \\ \dot{\vec{\mu}} = k \cdot (-k_2 \cdot \vec{\mu} - k_1 \cdot [\vec{r}_M - \vec{r}_C]); \end{cases} \quad (6)$$

где  $\vec{\mu}$  – вспомогательный вектор;  $k$ ,  $k_1$  и  $k_2$  – положительные коэффициенты усиления, причём первый из них достаточно велик:

$$k \gg 1.$$

Прокомментируем работоспособность алгоритма (6) с точки зрения асимптотической теории сингулярно возмущённых уравнений [3, 4]. Введём малый параметр

$$\varepsilon = \frac{1}{k} \ll 1.$$

Таким образом, система (6) является сингулярно возмущённой:

$$\begin{cases} \varepsilon \cdot \dot{\vec{r}}_M = \vec{\mu}, \\ \varepsilon \cdot \dot{\vec{\mu}} = -k_2 \cdot \vec{\mu} - k_1 \cdot [\vec{r}_M - \vec{r}_C]; \end{cases} \quad (7)$$

Рассмотрим вырожденную задачу для системы (7). Положим

$$\varepsilon = 0.$$

Решение вырожденной задачи имеет вид

$$\vec{r}_M(t) = \vec{r}_C(t), \quad (8)$$

что соответствует цели управления.

Рассмотрим присоединённую задачу. Введём «быстро» время  $\tau$

$$\varepsilon\tau = t.$$

Решение присоединённой задачи

$$\frac{d\vec{r}_C}{d\tau} = \varepsilon \cdot f, \quad \frac{d\vec{r}_M}{d\tau} = \vec{\mu}, \quad \frac{d\vec{\mu}}{d\tau} = -k_2 \cdot \vec{\mu} - k_1 \cdot [\vec{r}_M - \vec{r}_C];$$

при  $\varepsilon = 0$  имеет вид:  $\vec{r}_M(\tau) = \vec{r}_C(\tau) = \text{const}$  и является асимптотически устойчивым при положительных коэффициентах  $k_1$  и  $k_2$ .

Таким образом, как следует из теоремы Тихонова [3, 4], решение исходной задачи (7) мало отличается от решения вырожденной задачи (8).

Это означает, что чем выше будет значение коэффициента  $k$ , тем точнее характерная точка платформы  $M$  воспроизведёт движение центра преследуемого объекта  $C$ . Однако, на практике применение очень большого значения параметра  $k$  нежелательно. Оно приведёт к тому, что движение платформы будет происходить с достаточно высокими ускорениями; ошибки определения координат точки  $C$  будут сильно сказываться на результате управления; а метод численного интегрирования системы дифференциальных уравнений (6) придётся усложнить, так как она будет жёсткой [5].

### Расчёт управляющих сигналов

Запишем соотношения (6):

$$\begin{cases} \vec{V}_M = k \cdot \vec{\mu}, \\ \dot{\vec{\mu}} = k \cdot (-k_2 \cdot \vec{\mu} - k_1 \cdot \vec{r}_{CM}); \end{cases} \quad (9)$$

где  $\vec{V}_M$  – вектор скорости характерной точки, а  $\vec{r}_{CM}$  – её радиус-вектор относительно центра преследуемого объекта.

В подвижной системе координат  $Oxy$  уравнения (9) принимают вид:

$$\begin{cases} V_{Mx} = k \cdot \mu_x, & V_{My} = k \cdot \mu_y, \\ \dot{\mu}_x - \omega_z \cdot \mu_y = k \cdot (-k_2 \cdot \mu_x - k_1 \cdot r_{CMx}), \\ \dot{\mu}_y + \omega_z \cdot \mu_x = k \cdot (-k_2 \cdot \mu_y - k_1 \cdot r_{CMy}) \end{cases} \quad (10)$$

где  $\omega_z$  – угловая скорость платформы, получаемая после обработки одометрической информации.

Найдём компоненты вектора  $\vec{r}_{CM}$  в подвижной системе координат  $Oxy$ . Имеет место равенство

$$\vec{r}_{FC} + \vec{r}_{CM} = \vec{r}_{FO} + \vec{r}_{OM},$$

где  $\vec{r}_{FC}$  и  $\vec{r}_{FO}$  - радиус-векторы точек  $C$  и  $O$  относительно оптического центра камеры  $F$  соответственно;  $\vec{r}_{OM}$  - радиус-вектор точки  $M$  относительно  $O$ .

Так как камера установлена над продольной осью симметрии платформы (см. рис. 2, б), то проекции перечисленных векторов на подвижные оси имеют вид:

$$\begin{aligned} r_{FCx} &= FC \cdot \cos \beta, & r_{FOx} &= FO, & r_{OMx} &= h, \\ r_{FCy} &= FC \cdot \sin \beta, & r_{FOy} &= r_{OMy} &= 0. \end{aligned}$$

Таким образом, имеем компоненты вектора  $\vec{r}_{CM}$ :

$$r_{CMx} = -FC \cdot \cos \beta + FO, \quad r_{CMy} = -FC \cdot \sin \beta. \quad (11)$$

Угловые скорости колёс относительно платформы, необходимые для реализации движения характерной точки по закону (10), имеют вид:

$$\omega_R = \frac{1}{R_w} \left( V_{Mx} + \frac{l}{h} \cdot V_{My} \right), \quad \omega_L = \frac{1}{R_w} \left( V_{Mx} - \frac{l}{h} \cdot V_{My} \right). \quad (12)$$

### Моделирование алгоритмов погони

**Математическая модель мобильного робота.** Моделирование движения робота *DaNI* проводилось для случая отсутствия отрыва и проскальзывания ведущих колёс относительно подстилающей поверхности. Уравнения движения двухколёсной симметричной мобильной платформы, оснащённой электроприводами постоянного тока, по горизонтальной плоскости запишем [6]:

$$\begin{aligned} m\dot{V} - m_1 a \omega_z^2 + \frac{2C_2}{R_w^2} V &= \frac{C_1}{R_w} (U_R + U_L), \\ J\dot{\omega}_z + m_1 a \omega_z V + \frac{2C_2 l^2}{R_w^2} \omega_z &= \frac{C_1 l}{R_w} (U_R - U_L), \\ \dot{X} &= V \cos \psi, \quad \dot{Y} = V \sin \psi, \quad \dot{\psi} = \omega_z; \end{aligned}$$

где:  $V$  - скорость точки  $O$ , лежащей на середине оси колёсной пары;  $X$  и  $Y$  - её декартовы координаты в неподвижных осях  $XY$  (см. рис. 1);  $\psi = \angle(Ox, X)$  - курсовой угол платформы;  $U_{R,L}$  - управляющие напряжения;  $m = 1,1 \text{ кг}$  - масса робота;  $J = 0,044 \text{ кг} \cdot \text{м}^2$  - его момент инерции относительно вертикальной оси, проходящей через точку  $O$ ;  $m_1 = 1,0 \text{ кг}$  - масса платформы;  $l = 0,175 \text{ м}$  половина длины оси колёсной пары;  $R_w = 0,05 \text{ м}$  - радиус колёс;  $a = -0,1 \text{ м}$  - координа-

та центра масс платформы на оси  $Ox$ ;  $C_1 = 0,1 \text{ Нм/В}$  и  $C_2 = 0,01 \text{ Нм}\cdot\text{с}$  - постоянные электромеханических характеристик приводов. Указанные значения параметров подбирались максимально близко к паспортным характеристикам робота *Dani*.

Управляющие напряжения сформируем по пропорциональному закону

$$U_{R,L} = k_\omega \cdot (\omega_{R,L} - \hat{\omega}_{R,L}),$$

где  $\hat{\omega}_{R,L}$  - угловые скорости правого и левого колёс относительно платформы, полученные по измерениям одометрических датчиков, считающихся идеальными;  $\omega_{R,L}$  - управляющие угловые скорости правого и левого колёс, рассчитанные по формулам (12);  $k_\omega = 3 \text{ В}\cdot\text{с}$  - коэффициент усиления.

При моделировании учитывались фактические ограничения на абсолютные величины управляющих напряжений и угловых скоростей колёс:

$$|U_{R,L}| \leq 12 \text{ В}, \quad |\omega_{R,L}| \leq 16 \frac{\text{рад}}{\text{с}}.$$

**Характеристики алгоритма локализации объекта (2)–(3).** Экспериментально установлено, что фокусное расстояние камеры робота составляет  $f = 0,0267 \text{ м}$ . Считаем, что координаты объекта относительно платформы определяются по зашумлённому изображению, а погрешности расстояний  $F_1A_1$  и  $F_1B_1$  в формулах (2)–(3) являются случайными нормально распределёнными величинами со среднеквадратическими отклонениями равными  $1,7 \cdot 10^{-4} \text{ м}$ . Это значение соответствует пяти пикселям изображения размером  $640 \times 480$  пикселей, получаемого с камеры.

**Результаты моделирования алгоритмов погони.** Рассмотрим случай, когда преследуемый объект является круглым цилиндром радиуса  $r = 0,2 \text{ м}$ , центр которого совершает равномерное движение со скоростью  $V_C = 0,1 \text{ м/с}$  по окружности радиуса  $R_C = 0,5 \text{ м}$ . Координаты точки  $C$  изменяются по закону:

$$X_C = R_C \cos\left(\frac{V_C}{R_C} t\right), \quad Y_C = R_C \sin\left(\frac{V_C}{R_C} t\right).$$

В процессе движения необходимо совместить с центром объекта точку платформы  $M$ , находящуюся на расстоянии  $h = 0,5 \text{ м}$  от оси колёсной пары робота. Считаем, что камера размещена непосредственно над осью колёсной пары:  $FO = f$ .

Сравним результаты моделирования пропорционального алгоритма погони (5) с результатами алгоритма (10)–(12).

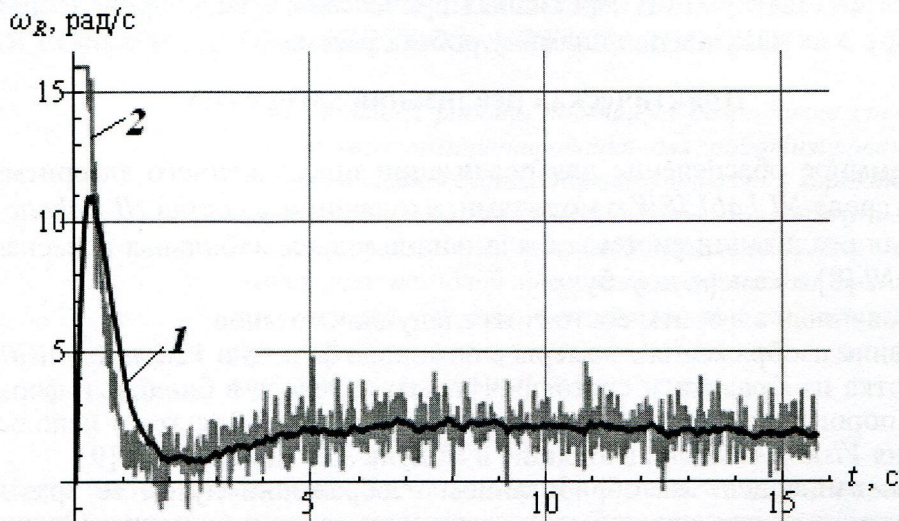
Будем использовать следующие значения коэффициентов усиления:  $k = 3 \text{ с}$ ,  $k_1 = 1$ ,  $k_2 = 2$ . Для уравнений движения робота и уравнений (10) примем начальные условия нулевыми, кроме значений  $X(0) = 3R_C$ ,  $\psi(0) = \pi$ .

На рис. 4 приведены результаты моделирования алгоритмов погони (5) и (10)–(12): графики изменения командной угловой скорости  $\omega_R$ , фактических ошибок позиционирования точки  $M$ :  $e_x = r_{CMx}$ ,  $e_y = r_{CMy}$ , также её траектории.

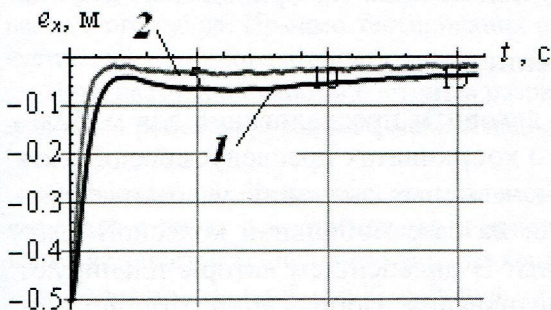
Анализ приведённых на рис. 4 результатов показывает, что точности совмещения точки платформы  $M$  с центром объекта для алгоритмов (5) и (10)–(12)

сопоставимы и в установившемся режиме составляют несколько сантиметров. Графики (см. рис. 4, а и в) иллюстрируют большую чувствительность пропорционального алгоритма погони (5) к случайным погрешностям определения координат преследуемого объекта.

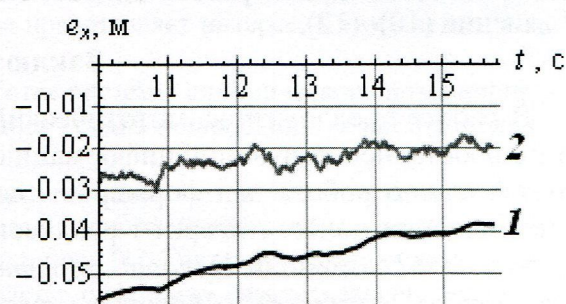
а) Управляющая величина угловой скорости правого колеса платформы



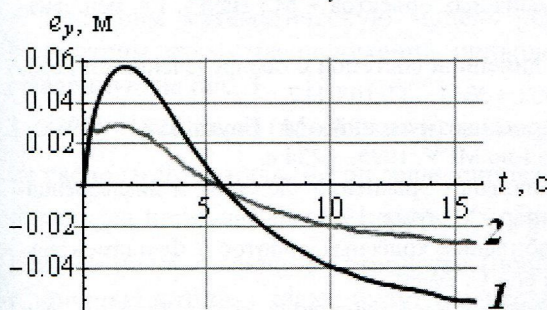
б) Ошибка позиционирования точки  $M$   
вдоль оси  $Ox$



в) Ошибка позиционирования точки  $M$   
вдоль оси  $Ox$  (увеличенено)



г) Ошибка позиционирования точки  $M$   
вдоль оси  $Oy$



д) Траектория точки  $M$  на плоскости  $XY$

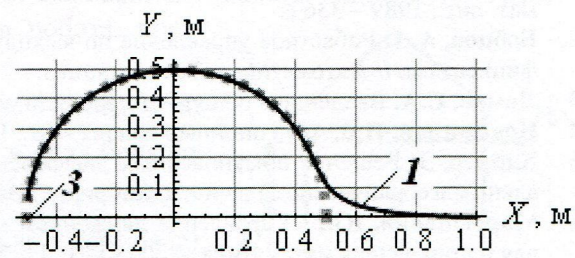


Рис. 4. Результаты численного моделирования алгоритмов погони:  
1 – алгоритм (10)-(12), 2 - пропорциональный алгоритм (5), 3 – траектория центра преследуемого  
объекта

В рассматриваемом случае в начальный момент времени алгоритм (5) требует разгона двигателя правого колеса до максимальных оборотов за малый промежуток времени (рис. 4, а). В подобной ситуации инерционность процессов в электрической цепи двигателя, не моделируемая в рассматриваемом примере, может существенно отразится на движении робота. Математическая модель колёсной платформы с учётом переходных процессов в электроприводе приведена в работе [6], а их влияние на динамику робота рассматривается в [7].

### Практическая реализация алгоритма

Программное обеспечение для реализации предложенного алгоритма было создано в среде *NI LabVIEW* с модулями, входящими в состав *NI Robotic Starter Kit* 2.0. Для реализации системы была использована мобильная колёсная платформа *DaNI* [8] и камера ноутбука.

Реализованный алгоритм состоит из следующих этапов.

1. Получение изображения с камеры с помощью функции *Vision Acquisition* [9];
2. Обработка изображения, состоящая из его перевода в бинарный формат методом пороговой фильтрации и очистки от шумов. Для этого используются функция *Vision Assistant*, входящие в модуль *NI Vision Module* [9];
3. Распознавание цели на обработанном изображении путём её сравнения с шаблоном, а также определение положения её крайних точек (функция *Vision Assistant*);
4. Вычисление координат центра объекта относительно камеры в соответствии с формулами (2) и (3);
5. Расчёт угловых скоростей двигателей, подаваемых на приводы, из соотношений (10)–(12).

### Заключение

В работе предложен асимптотический алгоритм преследования для мобильного робота, использующий информацию о координатах преследуемого объекта относительно робота для формирования командных значений угловых скоростей ведущих колёс. Алгоритм реализован на базе мобильной колёсной платформы *DaNI* компании *National Instruments*. В дальнейшем авторы планируют реализовать алгоритмы обработки и распознавания изображений, отличные от используемых в модуле *NI Vision Module*.

### ЛИТЕРАТУРА

1. Ким, Д.П. Методы поиска и преследования подвижных объектов – М.: Наука. Гл. ред. физ.-мат. лит., 1989 – 336 с.
2. Бобцов, А.А. Робастное управление по выходу линейной системой с неопределенными коэффициентами // Автоматика и Телемеханика. - 2002. - №11. - С. 108-117.
3. Ломов, С.А. Введение в общую теорию сингулярных возмущений – М.: Наука, 1981. – 398 с.
4. Новожилов, И.В. Фракционный анализ – М.: Изд-во МГУ, 1995. – 224 с.
5. Хайрер, Э. Решение обыкновенных дифференциальных уравнений. Жесткие и дифференциально-алгебраические задачи / Э. Хайрер, Г. Ваннер - М.: Мир, 1999. - 685 с.
6. Мартыненко, Ю.Г. Управление движением мобильных колёсных роботов // Фундаментальная и прикладная математика. – 2005. – Т. 11, № 8. – С. 29-80.
7. Мартыненко, Ю.Г. Влияние переходных процессов в электроприводе на устойчивость движения мобильного колесного робота / Ю.Г. Мартыненко, И.В. Орлов // Мобильные роботы и мехатронные системы: Материалы научной школы-конференции (Москва, 17-18 ноября 2003) – М.: Изд-во Моск. ун-та, 2004 – С. 135-149.
8. King, R. Mobile Robotics Experiments with DaNI – Colorado School of Mines, 2011. – 178 p.
9. Relf, C.G. Image Acquisition and Processing with LabVIEW – CRC Press, 2003. – 264 p.